ББК 22.165

## МАТЕМАТИЧЕСКАЯ МОДЕЛЬ ДЛЯ ПРОГНОЗИРОВАНИЯ ПОКАЗАТЕЛЕЙ АККРЕДИТАЦИИ ВУЗА

## Яндыбаева Н. В.<sup>1</sup>, Кушников В. А<sup>2</sup>.

(Саратовский государственный технический университет им. Гагарина Ю. А., Саратов)

Предложена методика, основанная на модели Дж. Форрестера, которая позволяет осуществлять эффективный контроль качества образовательного процесса вуза. В решении задачи управления качеством используются нормированные показатели аккредитации вуза.

Ключевые слова: модель системной динамики Дж. Форрестера, образовательный процесс, высшая школа, показатели аккредитации.

#### 1. Введение

Инновационные изменения, происходящие в обществе, переход вузов на двухуровневую систему подготовки специалистов, повышение автономности вузов, развитие негосударственного сектора выявили проблему оценки качества высшего образования. На нынешнем социально-экономическом этапе в России необходимо учитывать следующие тенденции развития системы высшего образования:

- Усиление децентрализации государственного управления и регулирования в системе высшего 1. профессионального образования и, как следствие, повышение автономности вузов.
- Появление и развитие негосударственного сектора в системе высшего образования и связанное с этим усиление внимания к проблемам контроля качества предоставляемых услуг.
- Возрастание конкуренции между вузами на фоне демографического спада.

Эти предпосылки способствуют разработке методов контроля и управления качеством образовательного процесса в вузе с учетом специфики конкретного вуза, его статуса и вида, профессорско-преподавательского состава, инновационной среды и предполагают в конечном итоге четкое разграничение полномочий головных вузов, филиалов, подразделений в плане выбора образовательной стратегии.

Основными способами контроля образовательной деятельности вуза в России являются лицензирование и аккредитация. Методические основы проведения данной экспертизы разработаны в трудах исследователей В.Г.Наводнова, В. И. Байденко, Г.Н. Мотовой, Е. Н. Геворкян и др. и подробно изложены в соответствующих нормативно-правовых документах[1].

В соответствии с действующим положением вуз обязан периодически проходить лицензионную и аккредитационную экспертизу, по результатам которой определяется его статус (университет, академия, институт) и принимается решение о продолжении деятельности в сфере образования. Критериальные показатели аккредитации для вузов различных типов приведены в таблице 1.

Между тем, как показывает практика, существующая процедура лицензирования и аккредитации вузов РФ обладает рядом особенностей, снижающих, на наш взгляд, эффективность процесса контроля и управления качеством образовательного процесса.

Экспертиза проводится один раз в пять лет, вуз к ней тщательно готовится, полученные результаты считаются неизменными на всем интервале аккредитации. При этом практически не учитываются неизбежные изменения показателей аккредитации вуза между двумя экспертизами, вызванные воздействием внешних факторов.

Оценка эффективности функционирования вуза на всем пятилетнем интервале аккредитации, полученная на основе однократного замера основных показателей его деятельности в начале данного интервала, представляется недостаточно достоверной, особенно с учетом человеческого фактора и тщательной подготовки, предшествующей проведению экспертизы. Образовательный процесс в вузе

<sup>&</sup>lt;sup>1</sup> Яндыбаева Наталья Валентиновна, аспирант (nat07@inbox.ru)

 $<sup>^2</sup>$ Кушников Вадим Алексеевич, доктор технических наук, профессор (Capamoв, kushnikoff@yandex.ru)

характеризуется большим количеством показателей, для изменения которых требуется значительное время.

Таблица I Критериальные значения показателей аккредитации вузов различных типов

$X_i^{\phi}$	Показатель аккредитации	Критериальное значение			
i		Универ-	Акаде-	Инс-	
		ситет	МИЯ	титут	
$X_{I}$	Число аспирантов на 100 студентов контингента, приведенного к очной форме обучения (чел.)	4	2	-	
$X_2$	Среднегодовой объем научных исследований на единицу научно-педагогического персонала за пять лет (тыс. руб)	18	12	5	
$X_3$	Среднегодовой объем финансирования научных исследований за пять лет (млн. руб)	10	5	1.5	
$X_4$	Среднегодовой контингент обучающихся по образовательным программам профессиональной переподготовки и/или повышения квалификации (чел.)	50	20	-	
$X_5$	Среднегодовое количество монографий на 100 основных штатных педагогических работников с учеными степенями и/или учеными званиями, изданных за 5 лет (шт.)	2	1,5	1,2	
$X_6$	% аспирантов, защитившихся в течение года после окончания аспирантуры (от числа поступивших) (чел.)	25	25	-	
$X_7$	% ППС с учеными степенями и /или званиями	60	60	55	
$X_8$	% в ППС докторов наук и /или профессоров	10	10	8,5	
$X_9$	Среднегодовое число защит диссертаций на 100 человек научно-педагогического персонала за пять лет	3	3	1	
$X_{10}$	% ППС, работающего в вузе на штатной основе	50	50	50	

Существующий методологический аппарат не дает возможность осуществить прогноз этих показателей на интервале между аккредитациями, что не позволяет руководству вуза своевременно устранить возникающие негативные тенденции и уменьшает практическую ценность проведенной экспертизы.

Вышеприведенные обстоятельства обуславливают необходимость разработки и внедрения новых математических моделей и алгоритмов, позволяющих осуществлять оценку основных показателей вуза на всем интервале его аккредитации, что позволит преодолеть указанные трудности.

### 2. Постановка задачи

На основе модулей, рейтингов, актов самообследования вуза рассчитываются фактические показатели аккредитации вуза  $X_i^\phi \in \overline{x}_i^{\phi a \kappa m}(t)$ . Существуют нормативные значения показателей аккредитации  $X_i^\kappa \in \overline{x}_i^{\kappa pum}(t)$  которые утверждены Рособрнадзором.

Формализованная постановка задачи может иметь вид:

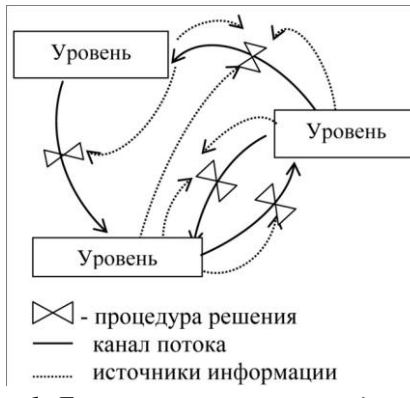
Для информационной системы контроля качества образовательного процесса в вузе разработать математическую модель, позволяющую при известных параметрах среды  $X_i^{\phi}$  провести имитационное моделирование основных показателей аккредитационного процесса вуза, приведенных в таблице 1.

Поскольку образовательный процесс представляет собой недетерминированную, стохастичную систему, были проанализированы модели, описывающие процессы, происходящие в сложных системах. Среди них - агрегатная модель Бусленко, дискретно-непрерывная модель Глушкова, гибридная система А. Пнуэли. Они используются преимущественно для анализа непрерывнодискретных систем. Модель Мезаровича - Пестеля позволяет анализировать сложные системы на основе теории многоуровневых иерархических систем[2,3,4]. Все вышеперечисленные модели могут использоваться для описания образовательного процесса лишь на отдельных этапах, т. к. не позволяют учитывать в полной мере особенности функционирования объекта исследований в силу его сложной, человекозависимой природы.

Для наиболее точного описания взаимосвязи элементов в образовательном процессе используем модель мировой динамики Дж. Форрестера[7].

Модель базируется на принципе системной динамики - методе изучения сложных систем с нелинейными обратными связями, разработанным Дж. Форрестером в конце 50-х годов XX века. Аналитические основы построения модели, предназначенной для имитации мировых процессов, были рассмотрены в его работах, посвященных изучению промышленных и урбанизированных систем. Методология системной динамики предполагает, что поведение системы определяется ее информационно-логической структурой. Структурная схема содержит источники усиления временных задержек и информационных обратных связей, подобных тем, которые встречаются в сложных инженерных системах[5]. Теоретическими разработками в области модификации модели Дж. Форрестера занимаются сейчас также в Институте прикладной математики им. М. В. Келдыша РАН, Институте системного анализа РАН.

Базовая модель мировой динамики Дж. Форрестера «Мир-2» состоит из следующих элементов: уровней; потоков, перемещающих содержимое одного уровня к другому; процедур решений, которые регулируют темпы потока между уровнями; каналов информации, соединяющих процедуры решений с уровнями (рис.1). Для основных фазовых переменных (так называемых системных уровней) составляются дифференциальные уравнения типа (1):



 $(1)\frac{dy}{dt} = y^{+} - y^{-}$   $y^{+} - \text{положительный темп скоро$ ючающий в себя все факторы

где  $y^+$  — положительный темп скорости переменной y, включающий в себя все факторы, вызывающие рост переменной y;

 $y^-$  отрицательный темп скорости, включающий в себя все факторы, вызывающие убывание переменной y.

Предполагается, что эти темпы расщепляются на произведение функций, зависящих только от "факторов" – комбинаций основных переменных, т.е., в свою очередь, самих являющихся функциями системных уровней:

$$(2)y^{\pm} = g(y_1, y_2, ..., y_n) = f(F_1, F_2, ..., F_k) = f_1(F_1)f_2(F_2)....f_k(F_k)$$

где  $F_j = g_j(y_{i1}...y_{im})$  — факторы, причем m = m(j) < n, k = k(j) < n (число уровней). Т.е. факторов меньше, чем основных переменных, и каждый фактор зависит не от всех системных уровней, а только от какой-то их части. Это позволяет упростить задачу моделирования.

Динамическая структура модели представлена рядом уровней, связанных между собой управляемыми потоками (рис.1). На основании анализа причинно-следственных связей, существующих между основными показателями аккредитационного процесса, разработан знаковый орграф, приведенный на рис.2. Рассмотрим основные контуры данного орграфа, а также соответствующие им описания образовательного процесса с использованием аппарата обыкновенных дифференциальных уравнений.

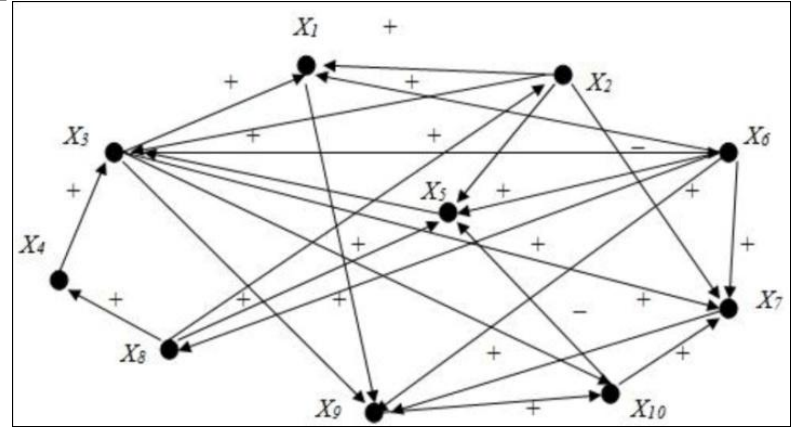


Рис.2. Знаковый орграф

На рис.3. приведен фрагмент модели Форрестера, на котором представлены уровни  $X_1$ ,  $X_2$ ,  $X_3$ ,  $X_4$ ,  $X_6$ . Ниже приводятся подграфы этих системных уровней и записаны дифференциальные уравнения уровней и темпов.

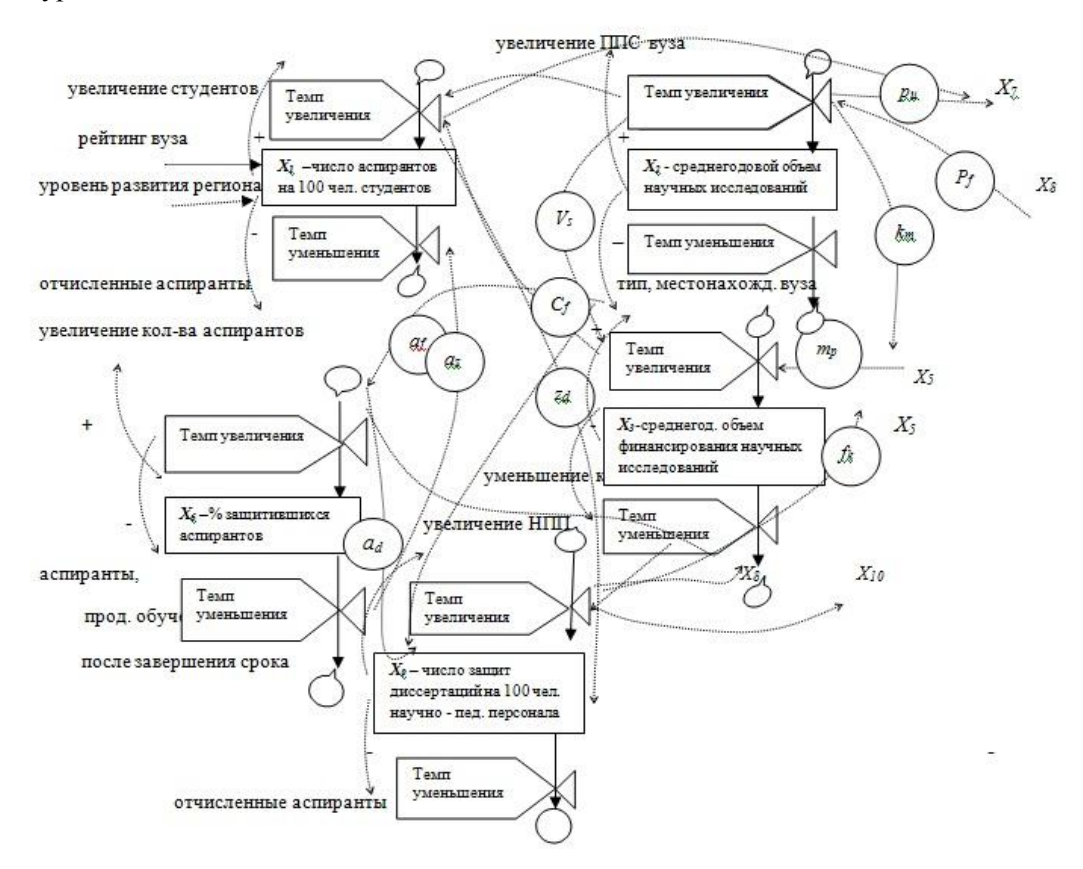
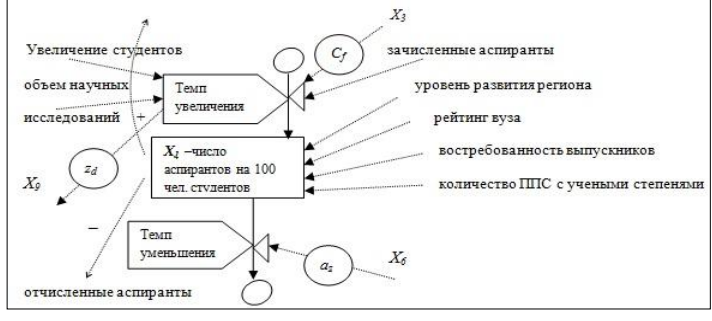


Рис.3. Фрагмент модели Форрестера с уровнями  $X_1$ ,  $X_2$ ,  $X_3$ ,  $X_4$ ,  $X_6$ 

На рис.4. показан подграф системного уровня  $X_I$ . Дифференциальное уравнение (3), описывающее взаимосвязи в уровне приведено ниже:

$$(3)\frac{dX_{1}}{dt} = (X_{1}^{T+} - X_{1}^{T-}) = X_{1} \left(\frac{B}{X_{1}} - \frac{D}{X_{1}}\right)$$

$$D = f_{1}^{T-}(X_{2})f_{2}^{T-}(X_{3})f_{3}^{T-}(X_{8})f_{4}^{T-}(X_{9}) \qquad B = f_{1}^{T+}(X_{2})f_{2}^{T+}(X_{5})f_{3}^{T+}(X_{8})f_{4}^{T+}(X_{9})$$



Puc.4. Подграф системного уровня  $X_1$ 

где 
$$B$$
 — среднегодовое количество зачисленных аспирантов (чел.),

D - среднегодовое количество отчисленных аспирантов (чел.),

 $X_{l}$  - текущая численность аспирантов (чел.).

Положительные и отрицательные темпы изменения фактора  $X_I$  вычисляются по формуле (4):

(4) 
$$X_1^{T+} = f_1^{T+}(X_2) \cdot f_2^{T+}(X_6) \cdot f_3^{T+}(X_7) \cdot f_4^{T+}(X_8) \cdot f_5^{T+}(X_9) \cdot f_6^{T+}(X_{10})$$

$$X_1^{T-} = f_1^{T-}(X_2) \cdot f_2^{T-}(X_6) \cdot f_3^{T-}(X_7) \cdot f_4^{T-}(X_8) \cdot f_5^{T-}(X_9) \cdot f_6^{T-}(X_{10})$$

Для системного уровня  $X_2$  запишем уравнение (5). Подграф системного уровня приведен на рис.5.

$$(5)\frac{dX_2}{dt} = X_2^{T+} - X_2^{T-} = X_2 \left( \left( \frac{U}{P_s} \right)^+ - \left( \frac{U}{P_s} \right)^- \right)$$

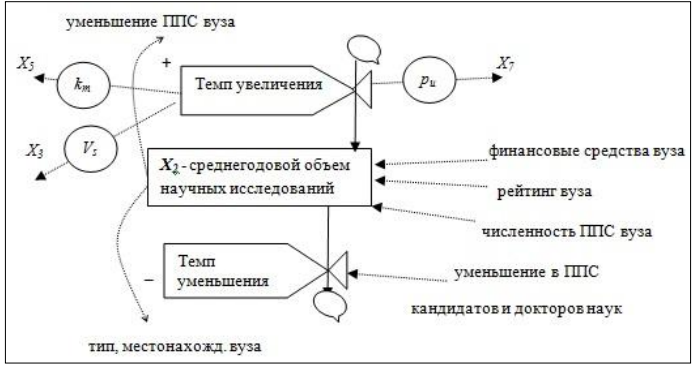


Рис.5. Подграф системного уровня  $X_2$ численность научно-педагогического персонала (чел.),

$$U^{+} = \frac{F^{+} + G^{+} + S^{+}}{P^{+}}; U^{-} = \frac{F^{-} + G^{-} + S^{-}}{P^{-}}$$

Где F - среднегодовой объем финансовых средств, располагаемых вузом (тыс. руб.), G- объем научно-исследовательской работы по освоению грантов российских научных фондов (тыс. руб.), S - собственные средства научно-педагогического персонала руб.), численность научнопедагогического персонала на начало/конец расчетного периода (чел.),  $P_s$ —среднегодовая

 $U^{^\pm}$  - положительный/отрицательный темпы изменения фактора  $X_{2.}$ 

Положительные и отрицательные темпы для  $X_2$  вычисляются по формуле (6).

(6) 
$$X_{2}^{T+} = f_{1}^{T+}(X_{1}) \cdot f_{2}^{T+}(X_{3}) \cdot f_{3}^{T+}(X_{6}) \cdot f_{4}^{T+}(X_{7}) \cdot f_{5}^{T+}(X_{8}) \cdot f_{6}^{T+}(X_{9})$$
  
 $X_{2}^{T-} = f_{1}^{T-}(X_{1}) \cdot f_{2}^{T-}(X_{3}) \cdot f_{3}^{T-}(X_{6}) \cdot f_{4}^{T-}(X_{7}) \cdot f_{5}^{T-}(X_{8}) \cdot f_{6}^{T-}(X_{9})$ 

Для системного уровня  $X_3$  дифференциальное уравнение (7) представлено ниже. Подграф системного уровня приведен на рис.6.

$$(7)\frac{dX_3}{dt} = X_3^{T+} - X_3^{T-} = X_3 \left( \left( \frac{SK + M + S}{V} \right)^+ - \left( \frac{SK + M + S}{V} \right)^- \right)$$

 $X_\delta$  увелич. спроса на специалистов

обучающихся по программам проф. переподготовки

где SK - средства частных компаний, фирм (млн. руб.), M - средства Минобрнауки (млн. руб.), Sсобственные средства научно-педагогического персонала (млн. руб.), V - текущий объем финансирования за расчетный период (млн. руб.).

Положительные и отрицательные темпы для  $X_3$  описываются с помощью уравнения (8).

$$X_{3}^{T+} = f_{1}^{T+}(X_{2}) \cdot f_{2}^{T+}(X_{4}) \cdot f_{3}^{T+}(X_{6}) \cdot f_{4}^{T+}(X_{7}) \cdot f_{5}^{T+}(X_{8}) \cdot f_{6}^{T+}(X_{9})$$
(8) 
$$X_{3}^{T-} = f_{1}^{T-}(X_{2}) \cdot f_{2}^{T-}(X_{4}) \cdot f_{3}^{T-}(X_{6}) \cdot f_{4}^{T-}(X_{7}) \cdot f_{5}^{T-}(X_{8}) \cdot f_{6}^{T-}(X_{9})$$

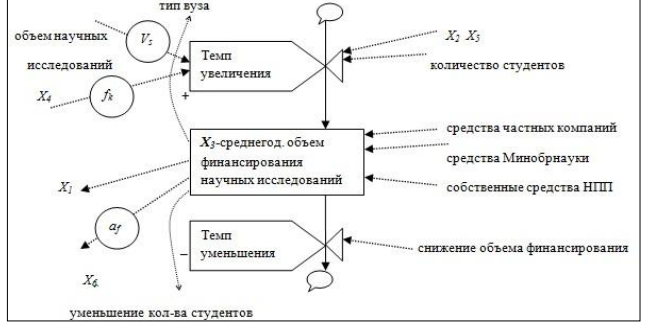


Рис. 6. Подграф системного уровня  $X_3$ Рис. 7. Подграф системного уровня  $X_4$ 

Для системного уровня  $X_4$  дифференциальное уравнение имеет вид (9). Подграф системного уровня  $X_4$  приведен на рис. 7.

$$(9)\frac{dX_4}{dt} = X_4^{T+} - X_4^{T-} = X_4 \left( \left( \frac{K_z}{X_4} \right)^+ - \left( \frac{K_o}{X_4} \right)^- \right)$$

Где  $K_z$  – количество зачисленных студентов на переподготовку (чел.),  $K_o$  – количество отчисленных студентов (чел.),  $X_4$ -текущая численность контингента студентов (чел.).

Положительные и отрицательные темпы в системном уровне можно записать следующим образом (10):

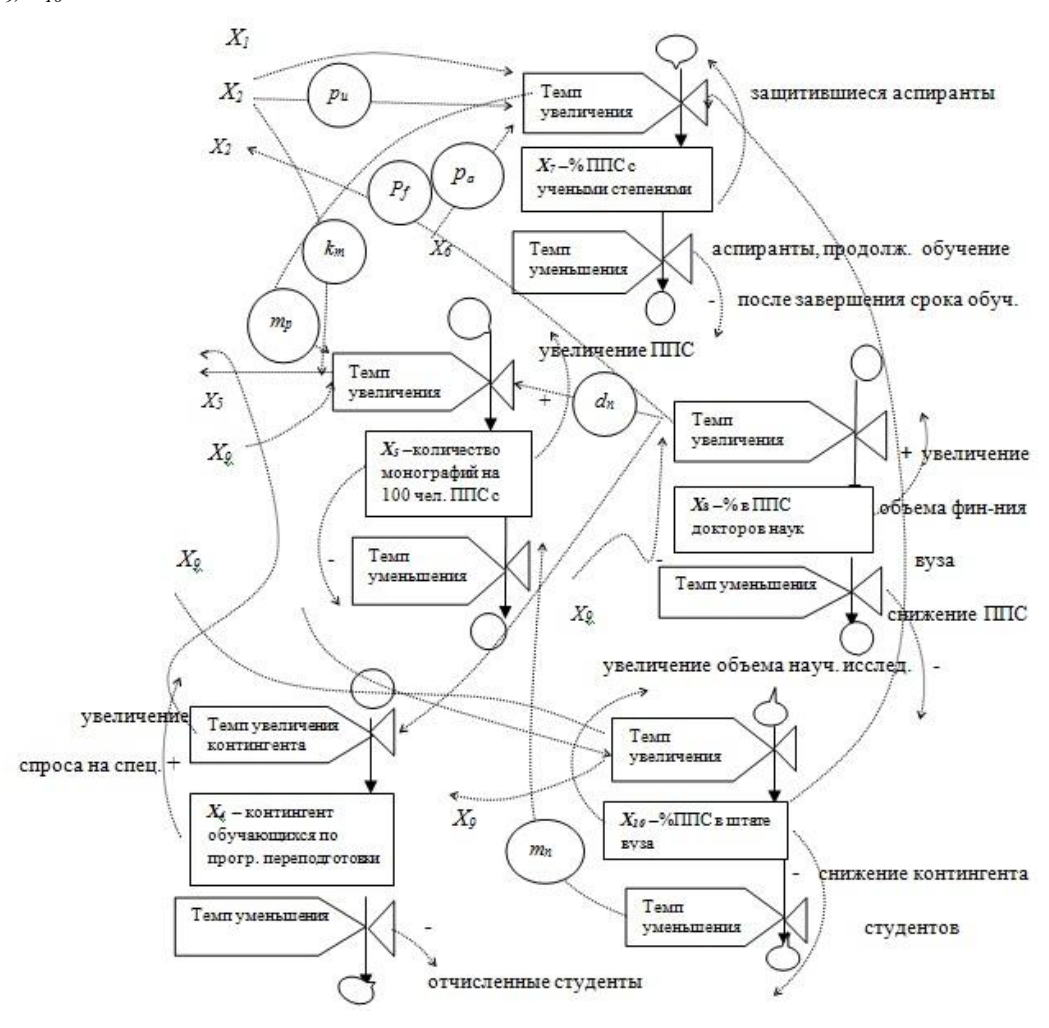
(10) 
$$X_{4}^{T+} = f_{1}^{T+}(X_{3}) \cdot f_{2}^{T+}(X_{5}) \cdot f_{3}^{T+}(X_{6}) \cdot f_{4}^{T+}(X_{7}) \cdot f_{5}^{T+}(X_{8})$$

$$X_{4}^{T-} = f_{1}^{T-}(X_{3}) \cdot f_{2}^{T-}(X_{5}) \cdot f_{3}^{T-}(X_{6}) \cdot f_{4}^{T-}(X_{7}) \cdot f_{5}^{T-}(X_{8})$$

объем финансирования вуза

рейтинг вуза

На рис.8. приведен фрагмент модели Форрестера, на котором изображены взаимосвязи факторов  $X_5$ ,  $X_7$ ,  $X_8$ ,  $X_9$ ,  $X_{10}$ .



Puc.8. Фрагмент модели Форрестера с уровнями  $X_5$ ,  $X_7$ ,  $X_8$ ,  $X_9$ ,  $X_{10}$ 

Подграф системного уровня  $X_5$  приведен на рис. 9, дифференциальное уравнение (11) записано ниже.

$$(11)\frac{dX_{5}}{dt} = X_{5}^{T+} - X_{5}^{T-} = X_{5} \left( \left( \frac{M_{v}}{P_{p}} \right)^{+} - \left( \frac{M_{p}}{P_{p}} \right)^{-} \right)$$

$$M_{v} = \frac{M_{i}}{ST} \qquad M_{p} = \frac{M_{n}}{ST}$$

$$M_{i} - \text{количество изданных вузом монографий (шт.) } M_{n} - \text{количество изданных в узом монографий в печати или изданных в других вузах (шт.) } M_{s} - \text{среднегодовое количество монографий за расчетный период (шт.), } ST- \text{количество штатного}$$

 $Puc.9.\ Подграф$  системного уровня  $X_5$  профессорско-преподавательского состава вуза с учеными степенями (чел.),  $P_p$ —среднегодовая численность научно - педагогического персонала (чел).

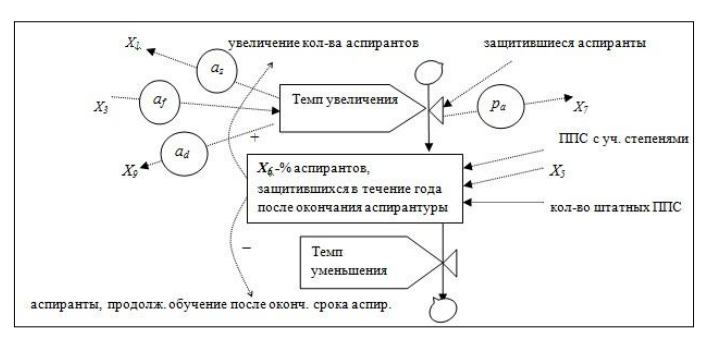
Положительные и отрицательные темпы в системном уровне можно записать следующим образом (12):

$$(12) \quad X_{5}^{T+} = f_{1}^{T+}(X_{2}) \cdot f_{2}^{T+}(X_{3}) \cdot f_{3}^{T+}(X_{6}) \cdot f_{4}^{T+}(X_{7}) \cdot f_{5}^{T+}(X_{8}) \cdot f_{6}^{T+}(X_{9}) \cdot f_{7}^{T+}(X_{10})$$

$$X_{5}^{T-} = f_{1}^{T-}(X_{2}) \cdot f_{2}^{T-}(X_{3}) \cdot f_{3}^{T-}(X_{6}) \cdot f_{4}^{T-}(X_{7}) \cdot f_{5}^{T-}(X_{8}) \cdot f_{6}^{T-}(X_{9}) \cdot f_{7}^{T-}(X_{10})$$

Подграф системного уровня  $X_6$  приведен на рис.10. Дифференциальное уравнение (13) для уровня записано ниже:

$$(13)\frac{dX_6}{dt} = X_6^{T+} - X_6^{T-} = X_6 \left( \left( \frac{A_z}{B} \right)^+ - \left( \frac{A_d}{B} \right)^- \right)$$



количество аспирантов, продолжающих обучение после истечения срока аспирантуры (чел.),

 $A_{z}$  -количество защитившихся аспирантов после окончания аспирантуры (чел.),

В - среднегодовое количество зачисленных аспирантов (чел.).

Положительные и отрицательные темпы вычисляются по формуле (14).

Подграф системного уровня  $X_7$  изображен на

Рис. 10. Подграф системного уровня  $X_6$ 

$$(14) \quad X_{6}^{T+} = f_{1}^{T+}(X_{1}) \cdot f_{2}^{T+}(X_{2}) \cdot f_{3}^{T+}(X_{3}) \cdot f_{4}^{T+}(X_{5}) \cdot f_{5}^{T+}(X_{7}) \cdot f_{6}^{T+}(X_{8}) \cdot f_{7}^{T+}(X_{9}) \cdot f_{8}^{T+}(X_{10})$$

$$X_{6}^{T-} = f_{1}^{T-}(X_{1}) \cdot f_{2}^{T-}(X_{2}) \cdot f_{3}^{T-}(X_{3}) \cdot f_{4}^{T-}(X_{5}) \cdot f_{5}^{T-}(X_{7}) \cdot f_{6}^{T-}(X_{8}) \cdot f_{7}^{T-}(X_{9}) \cdot f_{8}^{T-}(X_{10})$$

Дифференциальное уравнение уровня имеет вид (15).

$$(14)\frac{dX_{7}}{dt} = X_{7}^{T+} - X_{7}^{T-} = X_{7}(K_{k} - K_{n})$$

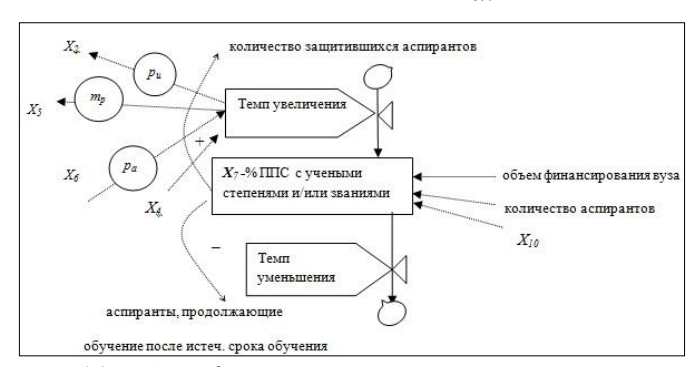


Рис. 11. Подграф системного уровня  $X_7$ 

 $K_k = \left(\frac{KN + KP}{KS}\right)^+ K_n = \left(\frac{KN + KP}{KS}\right)^-$ 

Где профессорско- $K_n$ преподавательского состава степенями и званиями на начало расчетного периода (чел.),  $K_k$  – количество профессорскопреподавательского состава степенями и званиями на конец расчетного периода (чел.), KN - количество кандидатов наук на начало расчетного периода (чел.), КР -

количество докторов наук, профессоров (чел.), КЅ - общая численность профессорскопреподавательского состава вуза (чел.).

Положительные и отрицательные темпы вычисляются по формуле (16):

$$(16) \quad X_{7}^{T+} = f_{1}^{T+}(X_{1}) \cdot f_{2}^{T+}(X_{2}) \cdot f_{3}^{T+}(X_{3}) \cdot f_{4}^{T+}(X_{5}) \cdot f_{5}^{T+}(X_{6}) \cdot f_{6}^{T+}(X_{7}) \cdot f_{7}^{T+}(X_{8}) \cdot f_{8}^{T+}(X_{9}) \\ X_{7}^{T-} = f_{1}^{T-}(X_{1}) \cdot f_{2}^{T-}(X_{2}) \cdot f_{3}^{T-}(X_{3}) \cdot f_{4}^{T-}(X_{5}) \cdot f_{5}^{T-}(X_{6}) \cdot f_{6}^{T-}(X_{7}) \cdot f_{7}^{T-}(X_{8}) \cdot f_{8}^{T-}(X_{9})$$

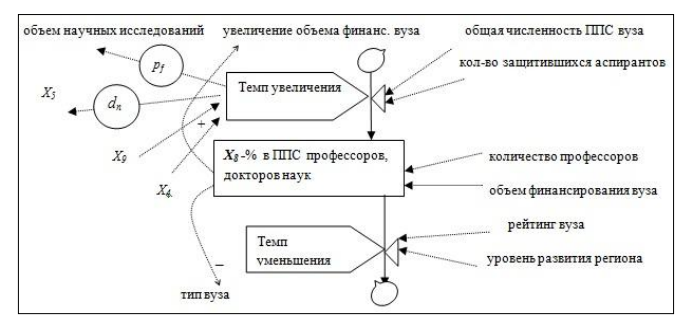
Подграф системного уровня  $X_8$  приведен на рис. 10. Уравнение уровня будет иметь вид (17):

$$(17)\frac{dX_8}{dt} = X_8^{T+} - X_8^{T-} = X_8 \left( \left( \frac{KP_k}{X_8} \right)^+ - \left( \frac{KP_n}{X_8} \right)^- \right)$$

Где  $KP_n$  - количество докторов наук, профессоров на начало расчетного периода (чел.),  $KP_k$  - количество докторов наук, профессоров на конец расчетного периода (чел.),  $X_8$  - среднегодовая численность профессоров в вузе (чел.).

Положительные и отрицательные темпы в уровне вычисляются по формуле (18):

(18) 
$$X_{8}^{T+} = f_{1}^{T+}(X_{1}) \cdot f_{2}^{T+}(X_{2}) \cdot f_{3}^{T+}(X_{3}) \cdot f_{4}^{T+}(X_{4}) \cdot f_{5}^{T+}(X_{5}) \cdot f_{6}^{T+}(X_{7}) \cdot f_{7}^{T+}(X_{9}) \cdot f_{8}^{T+}(X_{10})$$
$$X_{8}^{T-} = f_{1}^{T-}(X_{1}) \cdot f_{2}^{T-}(X_{2}) \cdot f_{3}^{T-}(X_{3}) \cdot f_{4}^{T-}(X_{4}) \cdot f_{5}^{T-}(X_{5}) \cdot f_{6}^{T-}(X_{7}) \cdot f_{7}^{T-}(X_{9}) \cdot f_{8}^{T-}(X_{10})$$



Подграф системного уровня  $X_9$  приведен на рис.12. Уравнение зависимости имеет вид (19).

$$(19)\frac{dX_{9}}{dt} = X_{9}^{T+} - X_{9}^{T-} = X_{9} \left( \left( \frac{Z}{X_{9}} \right)^{+} - \left( \frac{Z}{X_{9}} \right)^{-} \right)$$
$$Z = \left( \frac{D_{z} + K_{z}}{KS} \right)$$

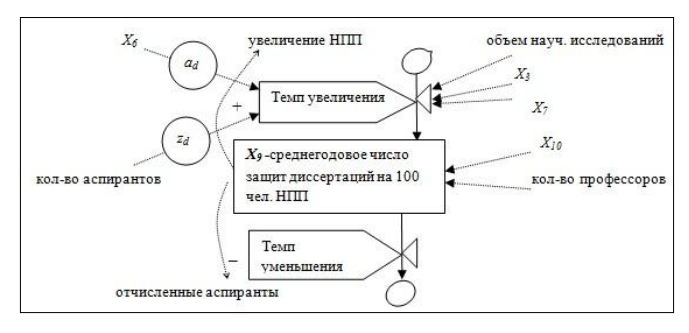
Здесь  $D_z$  - количество защит докторских дис-

сертаций (шт.),  $K_z$  - количество защит кандидатских Рис.12. Подграф системного уровня  $X_8$ диссертаций (шт.), KS - количество научно-педагогического персонала (чел.),  $X_9$  - среднегодовое число защит диссертаций на 100 чел. научно-педагогического персонала (шт./чел.),

Положительные и отрицательные темпы вычисляются по формуле (20):

$$(20) \quad X_{9}^{T+} = f_{1}^{T+}(X_{1}) \cdot f_{2}^{T+}(X_{2}) \cdot f_{3}^{T+}(X_{3}) \cdot f_{4}^{T+}(X_{6}) \cdot f_{5}^{T+}(X_{7}) \cdot f_{6}^{T+}(X_{8}) \cdot f_{7}^{T+}(X_{10})$$

$$X_{9}^{T-} = f_{1}^{T-}(X_{1}) \cdot f_{2}^{T-}(X_{2}) \cdot f_{3}^{T-}(X_{3}) \cdot f_{4}^{T-}(X_{6}) \cdot f_{5}^{T-}(X_{7}) \cdot f_{6}^{T-}(X_{8}) \cdot f_{7}^{T-}(X_{10})$$



Для системного уровня  $X_{10}$  дифференциальное уравнение (21) запишем следующим образом:

 $(21)\frac{dX_{10}}{dt} = X_{10}^{T+} - X_{10}^{T-} =$  $=X_{10}\left(\left(\frac{S_k}{X_{10}}\right)^+-\left(\frac{S_n}{X_{10}}\right)^-\right)$  $S_k = \frac{ST}{KS}$   $S_n = \frac{ST}{KS}$ 

Рис. 13. Подграф системного уровня  $X_9$ 

Где  $S_n$ ,  $S_k$  - % профессорско-преподавательского состава в вузе, работающего на штатной основе на начало/конец расчетного периода (чел.), ST - количество штатных преподавателей (чел.), KS - общее количество научно-педагогического персонала (чел.),  $X_{10}$  — среднегодовое количество штатного профессорско-преподавательского состава от общего количества научно-педагогического персонала. Положительные и отрицательные темпы вычисляются по формуле (22):

$$(22) X_{10}^{T+} = f_1^{T+}(X_1) \cdot f_2^{T+}(X_2) \cdot f_3^{T+}(X_3) \cdot f_4^{T+}(X_4) \cdot f_5^{T+}(X_6) \cdot f_6^{T+}(X_7) \cdot f_7^{T+}(X_8) \cdot f_8^{T+}(X_9)$$

$$X_{10}^{T-} = f_1^{T-}(X_1) \cdot f_2^{T-}(X_2) \cdot f_3^{T-}(X_3) \cdot f_4^{T-}(X_4) \cdot f_5^{T-}(X_6) \cdot f_6^{T-}(X_7) \cdot f_7^{T-}(X_8) \cdot f_8^{T-}(X_9)$$

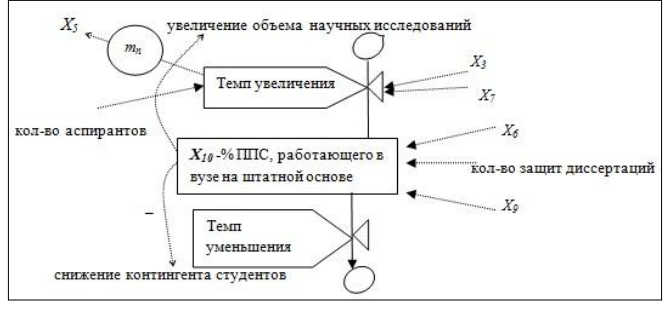


Рис.14. Подграф системного уровня  $X_{10}$ 

аспирантов от % аспирантов, защитившихся в

Подграф системного уровня приведен рис.14. В разработанной модели используются также множители зависимости одних факторов от других, которые задаются в форме линейных таблиц:

 $z_d$  - множитель зависимости числа аспирантов от числа защит диссертаций ( $X_1$  от  $X_9$ );

 $C_f$  –множитель зависимости числа аспирантов от объема финансирования ( $X_2$  от  $X_3$ );

 $a_7$  – множитель зависимости количества

течение года после окончания аспирантуры ( $X_1$  от  $X_6$ );

 $V_s$ -множитель зависимости объема финансирования от объема научных исследований ( $X_3$  от  $X_2$ );  $k_m$  – множитель зависимости количества монографий от объема научных исследований ( $X_5$  от  $X_2$ );

 $p_u$  – множитель зависимости количества ППС с учеными степенями и званиями от объема научных исследований ( $X_7$  от  $X_2$ );

 $f_k$  – множитель зависимости объема финансирования научных исследований от контингента обучающихся по программам профессиональной переподготовки ( $X_3$  от  $X_4$ );

 $a_f$  – множитель зависимости % аспирантов, защитившихся в течении года после окончания аспи-

рантуры от объема финансирования научных исследований ( $X_6$  от  $X_3$ );

 $d_n$  – множитель зависимости количества монографий от % в ППС профессоров ( $X_5$  от  $X_8$ );

 $m_n$  — множитель зависимости количества монографий от количества штатных преподавателей ( $X_5$  от  $X_{10}$ );  $p_a$  — множитель зависимости % ППС с учеными степенями и званиями от % аспирантов, защитившихся в течении года после окончания аспирантуры ( $X_7$  от  $X_6$ );

 $a_d$  — множитель зависимости среднегодового количества защит диссертаций от % аспирантов, защитившихся в течении года после окончания аспирантуры  $(X_9 \text{ от } X_6)$ ;

 $m_p$  – множитель зависимости количества монографий от % ППС с учеными степенями и званиями ( $X_5$  от  $X_7$ );

 $p_f$  – множитель зависимости объема научных исследований от % в ППС профессоров, докторов наук  $(X_2$  от  $X_7$ ).

## 3. Практическая реализация разработанной модели

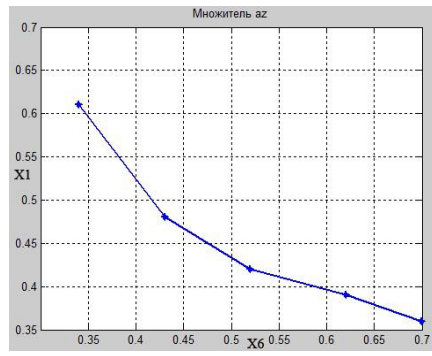
Рассмотрим нормированные относительно критериальных показатели аккредитации института  $X_i^{\phi}$  за пять лет. Значения показателей приведены в таблице 2.

Таблица 2. Нормированные показатели аккредитации института за 2005-2009 гг.

Годы	$X_1$	$X_2$	$X_3$	$X_4$	$X_5$	$X_6$	$X_7$	$X_8$	$X_9$	$X_{10}$
2005	0,63	0,39	0,34	0,1	0,081	0,7	0,49	0,049	0,242	0,65
2006	0,66	0,42	0,53	0,18	0,061	0,63	0,51	0,068	0,211	0,72
2007	0,71	0,51	0,72	0,15	0,082	0,78	0,36	0,061	0,204	0,67
2008	0,78	0,4	0,79	0,21	0,06	0,56	0,48	0,068	0,208	0,79
2009	0,76	0,48	0,55	0,3	0,07	0,6	0,4	0,064	0,192	0,88

0.55

Графики множителей  $a_z$   $C_f$  представлены на рис. 15 и рис. 16.



0.5 0.4 0.45 0.4 0.35 0.60 0.65 0.7 0.35 0.4 0.45 0.5 X3 0.55 0.6 0.65

Рис.15. График множителя  $a_z$ 

Puc.16. График множителя  $C_f$ 

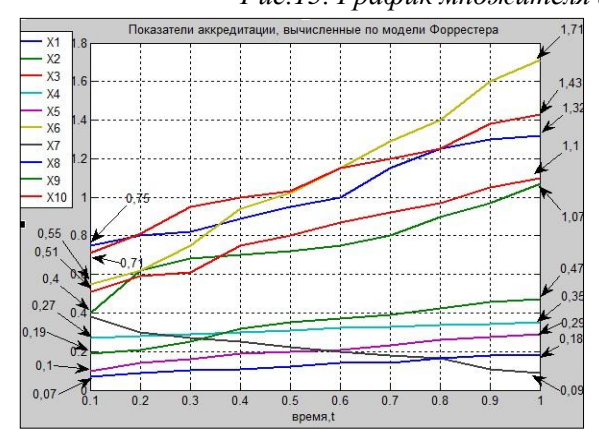


Рис.17. Расчетные показатели аккредитации

Вид кривой множителя  $C_f$  обусловлен тем, что увеличение финансирования в рассматриваемый -2005-2008 гг. привело к увеличению количества аспирантов на 100 человек контингента студентов всех форм обучения. Начальные условия в  $x_{0i} = X_i^{\phi}$  — нормированные аккредитации института в 2009 году. Показатели аккредитации института на интервале [0;1] - 1 год, рассчитанные В MatLab c использованием разработанной математической модели приведены на рис.17. Далее производится сравнение показателей регрессионной модели[6], и назначаемых экспертами эвристически. На рис. 18 показаны графики сравнения

для показателей  $X_I$ ,  $X_2$  на интервале [0;1]-1 год, на которых функция H(t) представляет собой зависимость, определяемую опытным путем. Из анализа построенных зависимостей можно сделать вывод, что существующие расхождения в значениях показателей, вычисленных по модели Форрестера, регрессионной модели и назначаемые ЛПР на основе собственного опыта, незначительны и их можно считать достоверными.

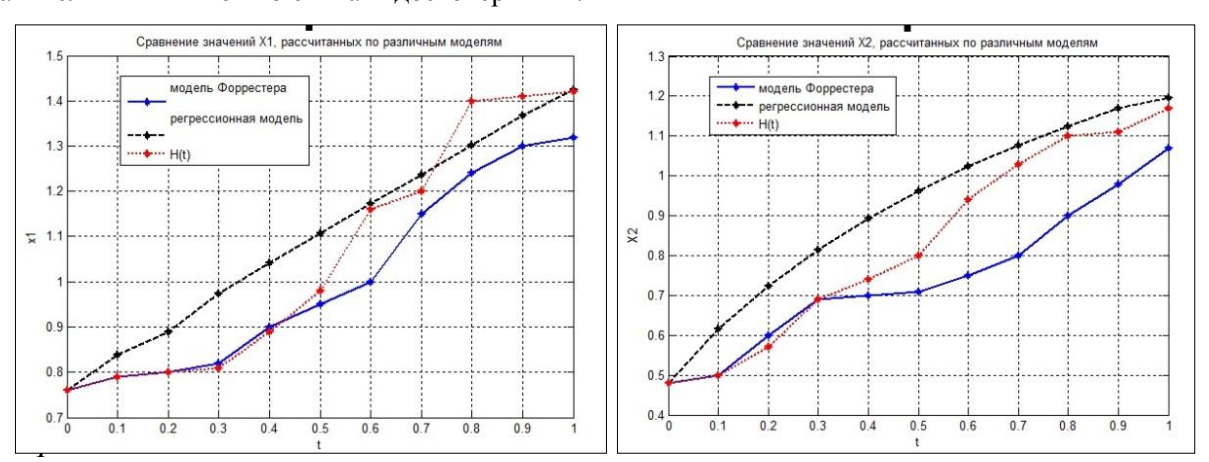


Рис. 18. Сравнение значений факторов  $X_1$  и  $X_2$ , рассчитанных по различным моделям

#### 4. Заключение

Математическая модель, разработанная на основе модели системной динамики наглядно иллюстрирует структуру причинно-следственных связей в системе - образовательном процессе вуза. Вместе с тем нельзя не упомянуть и о недостатках модели: некоторые зависимости в ней не всегда поддаются точному анализу, сложно отследить систему обратных связей. Для верификации модели используется аппарат регрессионного анализа. Управление образовательным процессом вуза осуществляется путем побора оптимальной комбинации показателей аккредитации таким образом, чтобы минимизировать отклонения значений показателей, вычисленных тремя методами.

Таким образом, разработанная математическая модель позволяет учитывать особенности образовательного процесса как сложной системы и отслеживать качество процесса в любой дискретный момент времени.

## Литература

- 1. Об утверждении Положения о лицензировании образовательной деятельности [Электронный ресурс]: постановление Правительства РФ от 31.03.2009 г. № 277. <u>URL:http://nica.ru/accred/</u> (Дата обращения 12.01.2011).
- 2. БУСЛЕНКО Н. П. *Моделирование сложных систем*. Главная редакция физикоматематической литературы издательства «Наука».- М.: 1968.
- 3. РОМАНОВ В. Н. Системный анализ для инженеров. СПб.: СЗГЗТУ. 2006.
- 4. СОВЕТОВ Б. Я., ЯКОВЛЕВ С. А. *Моделирование систем.* 3-е изд., перераб. и доп. М.: Высш. шк., 2001.
- 5. ФОРРЕСТЕР ДЖ. *Основы кибернетики предприятия (индустриальная динамика).*-М.: Издательство «Прогресс».1971. 325 с.
- 6. ЯНДЫБАЕВА Н. В., КУШНИКОВ В.А. *Управление образовательным процессом вуза на основе модели Форрестера* / Вестник Саратовского государственного технического университета. 2011. № 2(55), с. 172-176.
- 7. JAY W. FORRESTER. *World dynamics*. Cambridge, Massachusetts, Wright -Alien Press, Inc. 1971, P.176.

# MATHEMATICAL MODEL FOR THE PREDICTION OF PERFORMANCE OF HIGHER SCHOOL ACCREDITATION

**Yandybaeva Natalya Valentinovna -** Saratov State Technical University, Postgraduate (nat07@inbox.ru)

**Kushnikov Vadim Alekseyevich -** Saratov State Technical University, Doctor of Technical Sciences, Professor (kushnikoff@yandex.ru)

Abstract: The article shows the method based on Forrester model. This methods helps to effective control of the quality of the educational process of the higher school. The accreditation indicators are used in the educational control of the higher school.

**Keywords**: The system dynamics model of J. Forrester, the educational process, the higher school, accreditation indications.